

## Влияние параметров геометрически нелинейной эндохронной теории неупругости на описание процесса релаксации напряжений

д.ф.-м.н. проф. Кадашевич Ю.И., д.ф.-м.н. доц. Помыткин С.П., Помыткина Т.Б.

Санкт-Петербургский государственный технологический  
университет растительных полимеров,

Санкт-Петербургский государственный университет аэрокосмического приборостроения,

Санкт-Петербургский государственный университет

8(812) 7868660, [math.spbgturp@yandex.ru](mailto:math.spbgturp@yandex.ru), 8(812) 7084372, [kaf54@guap.ru](mailto:kaf54@guap.ru),

8(812) 4287109, [t.pomytkina@spbu.ru](mailto:t.pomytkina@spbu.ru)

**Аннотация.** Рассматривается тензорно-параметрический вариант эндохронной теории неупругости для больших деформаций и поворотов, учитывающий временные эффекты. Численно моделируется процесс релаксации напряжений в материале. Изучается влияние параметра, входящего в градиент деформации, и параметра упрочнения материала на форму кривых «напряжение~время» и их количественные характеристики. Приведены результаты соответствующих численных экспериментов.

**Ключевые слова:** неупругость, эндохронная теория, большие деформации, определяющие соотношения, релаксация напряжений, градиент деформации.

В работе [1] были сформулированы принципы построения геометрически нелинейной теории неупругости эндохронного типа и предложены определяющие соотношения пластичности, учитывающие большие деформации и повороты. Впоследствии эта теория была обобщена для учета временных процессов, протекающих в неупругих материалах [2]. В работе [3] с использованием определяющих соотношений геометрически нелинейной эндохронной теории были представлены результаты решения ряда задач ползучести и релаксации. В предлагаемой вниманию читателя статье исследуется влияние параметра, входящего в тензор градиента деформаций, и коэффициента упрочнения на релаксацию напряжений в материале.

Рассматривается один из тензорно-параметрических вариантов эндохронной теории неупругости для больших деформаций и поворотов, учитывающих временные эффекты [2]. В безындексной форме записи тензоров определяющие соотношения имеют вид [3]:

$$\frac{\alpha \tau}{2G} \overset{\circ}{\sigma} + \frac{\sigma}{2G} |\dot{r}| = \tau \dot{r} + \frac{r}{g + \alpha} |\dot{r}|, \quad \varepsilon_0 = \frac{\sigma_0}{K}, \quad (1)$$

$$\tau = \tau(|r|, |\dot{r}|), \quad g = g(|r|, |\dot{r}|), \quad G = G(|r|, |\dot{r}|), \quad (2)$$

$$r = \varepsilon - (1 - \alpha) \frac{\sigma}{2G}, \quad \dot{r} = \dot{\varepsilon} - (1 - \alpha) \frac{\dot{\sigma}}{2G}, \quad (3)$$

$$\overset{\circ}{r} = D - (1 - \alpha) \frac{\overset{\circ}{\sigma}}{2G}, \quad \overset{\circ}{\varepsilon} = D, \quad \Omega = \dot{R} R^T, \quad (4)$$

$$\overset{\circ}{\sigma} = \dot{\sigma} + \sigma \Omega - \Omega \sigma, \quad \overset{\circ}{\varepsilon} = \dot{\varepsilon} + \varepsilon \Omega - \Omega \varepsilon, \quad (5)$$

$$|\dot{r}| = \sqrt{\frac{dr}{dt} : \frac{dr}{dt}}, \quad |r| = \int dr. \quad (6)$$

Здесь  $\varepsilon$  и  $\varepsilon_0$  – девиатор и шаровая часть тензора деформаций,  $\sigma$  и  $\sigma_0$  – девиатор и

шаровая составляющая тензора напряжений,  $r$  – девиатор параметрического тензора,  $\tau$  – аналог деформационного предела текучести,  $g$  – аналог коэффициента упрочнения (разупрочнения),  $\alpha$  – параметр эндохронности ( $0 \leq \alpha \leq 1$ ),  $G$  – модуль сдвига,  $K$  – модуль объёмного сжатия, верхний индекс  $T$  – знак транспонирования,  $t$  – время. Кроме того,  $\Omega$  – тензор спина,  $R$  – ортогональный тензор поворота,  $F$  – тензор градиента деформаций,  $U$  – правый тензор удлинения в полярном разложении тензора градиента  $F = RU$ ,  $L$  – скорость градиента деформаций,  $D$  – тензор скоростей деформаций.

$$R = F U^{-1}, L = \dot{F} F^{-1}, D = (L + L^T)/2, \quad (7)$$

Частный вариант теории (1) – (7) для девиаторов при  $\alpha = 1$ ,  $2G = 1$  и  $g = \text{const}$  имеет вид:

$$\tau \overset{\circ}{\sigma} + \sigma |\dot{\varepsilon}| = \tau \overset{\circ}{\varepsilon} + \frac{\varepsilon}{g+1} |\dot{\varepsilon}|, \quad \overset{\circ}{\varepsilon} = D, \quad (8)$$

$$\tau = \tau(|\varepsilon|, |\dot{\varepsilon}|). \quad (9)$$

Для исследования процесса релаксации напряжений был выбран градиент деформации в форме:

$$F = \begin{pmatrix} k_{11} & m \cdot k_{12} & 0 \\ k_{12} & k_{22} & 0 \\ 0 & 0 & k_{33} \end{pmatrix}. \quad (10)$$

У такого типа градиента деформации ортогональный тензор поворота  $R$  и тензор спина  $\Omega$  имеют следующую структуру:

$$R = \begin{pmatrix} \cos \beta & \sin \beta & 0 \\ -\sin \beta & \cos \beta & 0 \\ 0 & 0 & 1 \end{pmatrix}, \quad \Omega = \dot{\beta} \begin{pmatrix} 0 & 1 & 0 \\ -1 & 0 & 0 \\ 0 & 0 & 0 \end{pmatrix}, \quad \text{tg} \beta = \frac{k_{12} \cdot (m-1)}{k_{11} + k_{22}}. \quad (11)$$

В работе [3] авторы данной публикации анализировали вариант эндохронной теории ползучести для больших деформаций и поворотов с градиентом деформации типа (10) при  $m = 0$ .

Предположим, что тензор скоростей деформации  $D$ , девиаторы тензоров деформации  $\varepsilon$  и напряжений  $\sigma$  имеют вид:

$$D = \begin{pmatrix} D_{11} & D_{12} & 0 \\ D_{12} & D_{22} & 0 \\ 0 & 0 & D_{33} \end{pmatrix}, \quad \varepsilon = \begin{pmatrix} \varepsilon_{11} & \varepsilon_{12} & 0 \\ \varepsilon_{12} & \varepsilon_{22} & 0 \\ 0 & 0 & \varepsilon_{33} \end{pmatrix}, \quad \sigma = \begin{pmatrix} \sigma_{11} & \sigma_{12} & 0 \\ \sigma_{12} & \sigma_{22} & 0 \\ 0 & 0 & \sigma_{33} \end{pmatrix}. \quad (12)$$

Используя (7) и (10), компоненты тензора скоростей деформации  $D$  можно связать с компонентами тензора градиента деформации  $F$  следующими дифференциальными уравнениями:

$$\dot{k}_{11} \cdot k_{22} - m \cdot k_{12} \cdot \dot{k}_{12} = \Delta \cdot D_{11}, \quad \dot{k}_{22} \cdot k_{11} - m \cdot k_{12} \cdot \dot{k}_{12} = \Delta \cdot D_{22}, \quad (13a)$$

$$\dot{k}_{12} \cdot (k_{22} + m k_{11}) - k_{12} \cdot (\dot{k}_{22} + m \cdot \dot{k}_{11}) = 2 \cdot \Delta \cdot D_{12}, \quad (13b)$$

$$\dot{k}_{33} = k_{33} \cdot D_{33}, \quad \Delta = k_{11} \cdot k_{22} - m \cdot k_{12}^2. \quad (13b)$$

Подставляя (11) в выражения для объективных производных (5), используя затем соотношения (1), (2), (4) и вводя обозначения  $k = 1/(g+1)$  и  $n = |\dot{\varepsilon}|/\tau$ , получим замкнутую систему дифференциальных определяющих соотношений:

$$\dot{\sigma}_{11} - 2\dot{\beta} \cdot \sigma_{12} + n \cdot \sigma_{11} = D_{11} + k \cdot n \cdot \varepsilon_{11}, \quad \dot{\varepsilon}_{11} - 2\dot{\beta} \cdot \varepsilon_{12} = D_{11}, \quad (14)$$

$$\dot{\sigma}_{22} + 2\dot{\beta} \cdot \sigma_{12} + n \cdot \sigma_{22} = D_{22} + k \cdot n \cdot \varepsilon_{22}, \quad \dot{\varepsilon}_{22} + 2\dot{\beta} \cdot \varepsilon_{12} = D_{22}, \quad (15)$$

$$\dot{\sigma}_{33} + n \cdot \sigma_{33} = D_{33} + k \cdot n \cdot \varepsilon_{33}, \quad \dot{\varepsilon}_{33} = D_{33}, \quad (16)$$

$$\dot{\sigma}_{12} + \dot{\beta} \cdot (\sigma_{11} - \sigma_{22}) + n \cdot \sigma_{12} = D_{12} + k \cdot n \cdot \varepsilon_{12}, \quad \dot{\varepsilon}_{12} + 2\dot{\beta} \cdot (\varepsilon_{11} - \varepsilon_{22}) = D_{12}, \quad (17)$$

$$\dot{k}_{11} \cdot k_{22} - m \cdot k_{12} \cdot \dot{k}_{12} = \Delta \cdot D_{11}, \quad \dot{k}_{22} \cdot k_{11} - m \cdot k_{12} \cdot \dot{k}_{12} = \Delta \cdot D_{22}, \quad (18)$$

$$\dot{k}_{33} = k_{33} \cdot D_{33}, \quad \dot{k}_{12} \cdot (k_{22} + m k_{11}) - k_{12} \cdot (\dot{k}_{22} + m \cdot \dot{k}_{11}) = 2 \cdot \Delta \cdot D_{12}, \quad (19)$$

$$tg\beta = \frac{k_{12} \cdot (m-1)}{k_{11} + k_{22}}, \quad \Delta = k_{11} \cdot k_{22} - m \cdot k_{12}^2, \quad |\dot{\varepsilon}| = \sqrt{\dot{\varepsilon}_{11}^2 + \dot{\varepsilon}_{22}^2 + \dot{\varepsilon}_{33}^2 + 2\dot{\varepsilon}_{12}^2}. \quad (20)$$

Исследование влияния параметров  $m$  и  $k$  на изменение напряжений во времени в процессе релаксации материала начинается с активного монотонного нагружения жестким сдвигом, когда  $D_{11} = 0$ ,  $D_{22} = 0$ ,  $D_{33} = 0$ ,  $D_{12} \neq 0$ . Нагружение продолжается до некоторого значения  $\varepsilon_i = \varepsilon_i^0 > \tau$ , где  $\varepsilon_i$  – интенсивность деформаций. После чего деформации фиксируются и наблюдается процесс релаксации напряжений. В численных экспериментах в соотношениях (14) – (20) было принято, что  $\tau = k_0 \cdot |\dot{\varepsilon}|$  и  $k_0 = 1$ , то есть  $n = 1$ . Изменялся «аналог» коэффициента упрочнения (разупрочнения)  $k$  и параметр  $m$ , определяющий форму тензора градиента деформации  $F$ .

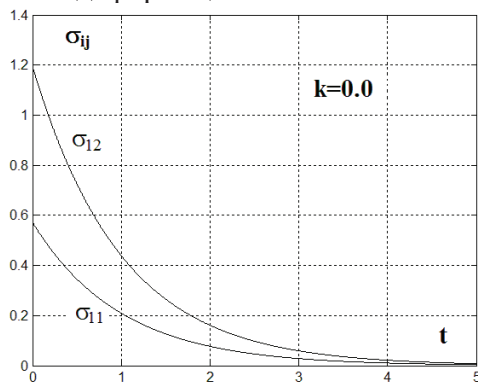


Рисунок 1. Релаксация осевого и сдвигового напряжения при  $k = 0$

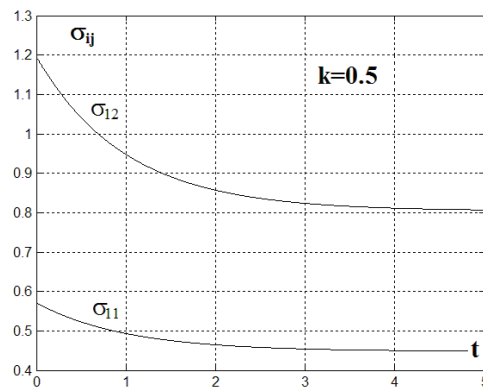


Рисунок 2. Изменение напряжений в процессе релаксации при  $k = 0.5$

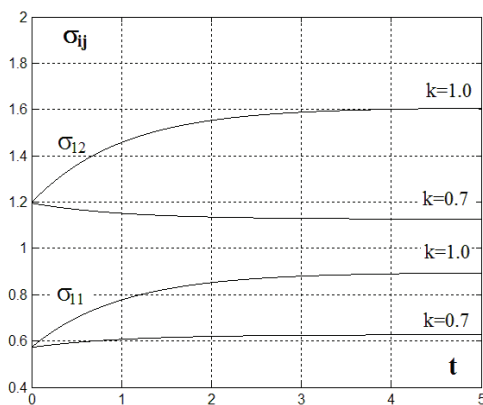


Рисунок 3. Зависимость напряжений  $\sigma_{11}$  и  $\sigma_{12}$  от времени при  $k = 0.7$  и  $k = 1.0$

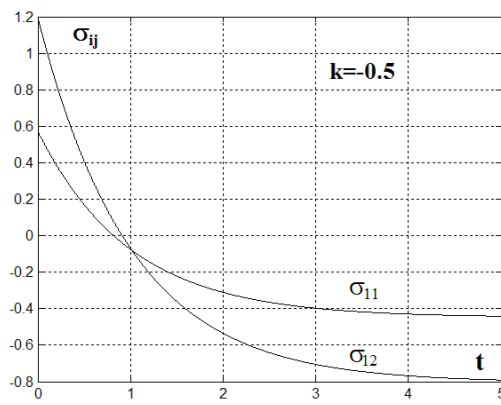


Рисунок 4. Изменение напряжений  $\sigma_{11}$  и  $\sigma_{12}$  во времени при  $k = -0.5$

Расчётами установлено, что параметр  $m$  обладает несколькими достаточно узкими интервалами, внутри которых решение системы определяющих соотношений устойчиво, причём кривые «напряжение~время» абсолютно не зависят от величины параметра  $m$  во всей области устойчивости решения.

Приведённые примеры демонстрируют чёткую зависимость изменения напряжений во

времени от коэффициента  $k$ , позволяя получать широкий спектр форм кривых  $\sigma \sim t$ . Физически неясен рост напряжений во времени при постоянных деформациях (рисунок 3) и смена знака напряжений у «разупрочняющегося» материала (рисунок 4).

Физически не реализуемая в экспериментах релаксация напряжений до нуля (рисунок 1) связана с особым случаем нулевого значения параметра упрочнения. Это вытекает из соотношений (14) – (20), которые в геометрически линейном варианте, когда  $\beta = 0$ , в одноосном случае с  $\tau = k_0 \cdot |\dot{\varepsilon}|$  и  $k_0 = 1$  в отсутствии упрочнения, то есть при  $k = 0$  преобразуются в уравнение:

$$\sigma + \dot{\sigma} = \dot{\varepsilon}. \quad (21)$$

Очевидно, что при  $\varepsilon = \text{const} = \varepsilon_0$  и  $\dot{\varepsilon} = 0$  происходит процесс «идеальной» релаксации напряжений по закону  $\sigma = \sigma_0 \cdot \exp(-t)$  от  $\sigma(0) = \sigma_0$  до нуля при  $t \rightarrow +\infty$ . И лишь когда  $k \neq 0$ , уравнение:

$$\sigma + \dot{\sigma} = \dot{\varepsilon} + k \cdot \varepsilon, \quad (22)$$

при  $\varepsilon = \text{const} = \varepsilon_0$ ,  $\dot{\varepsilon} = 0$  и начальных условиях  $\sigma(0) = \sigma_0$  даёт решение:

$$\sigma = (\sigma_0 - k \cdot \varepsilon_0) \cdot \exp(-t) + k \cdot \varepsilon_0, \quad (23)$$

описывающее процесс релаксации напряжения от «начального»  $\sigma_0$  при  $t = 0$  до «остаточного»  $\sigma = k \cdot \varepsilon_0$  при  $t \rightarrow +\infty$ .

**Замечание 1.** В рамках геометрически нелинейной эндохронной теории неупругости (1) – (7), (10), (11) со значениями параметров  $k = 0$  и  $m = 0$  процесс релаксации напряжений в материале был рассмотрен в работе [3].

**Замечание 2.** Обратим внимание на то, что для градиента деформаций (10) значение  $m = 1$  – особый случай. При нём ортогональный тензор поворота (11) вырождается в единичную матрицу, тензор спина  $\Omega$  нулевой, тензор скоростей деформаций  $D$  совпадает с производными деформаций  $\varepsilon$ . То есть, таким образом реализуется один из геометрически линейных вариантов определяющих соотношений теории неупругости, учитывающей временные эффекты. В этой ситуации градиент (10) должен быть выбран в иной форме. Результаты такого анализа авторы намерены представить в отдельной публикации.

Работа выполнена при поддержке Российского фонда фундаментальных исследований (грант 14-01-00202).

### Литература

1. Кадашевич Ю.И., Помыткин С.П. Новый взгляд на построение эндохронной теории пластичности при учете конечных деформаций // Научно-технические ведомости СПбГТУ. 2003. № 3. С. 96-103.
2. Кадашевич Ю.И., Помыткин С.П. Учет конечных деформаций в эндохронной теории вязкопластичности // Вестник гражданских инженеров. 2005. № 1. С. 28-32.
3. Кадашевич Ю.И., Помыткин С.П. Описание процессов ползучести и релаксации материалов в рамках эндохронной теории неупругости для больших деформаций // Вестник Самарского государственного технического университета. Серия «Физико-математические науки». 2009. № 1(18). С. 61-65.